



UFC

Trabalho de Sinais e Sistemas

Vinicius Alexandre Gomes do Nascimento	568594
Matheus Parente Reis	571954
Diego Mendes de Freitas	565585

Conteúdo

1	Introdução	2
1.1	Processamento do Sinal	2
2	Decomposição	3
2.1	Fundamentação Teórica e Decomposição	3
2.1.1	Desenvolvimento da Componente Real ($y_R[n]$)	3
2.1.2	Desenvolvimento da Componente Imaginária ($y_I[n]$)	3
2.1.3	Análise de Resultados	4
2.2	Aplicação em Código Python	4
3	Filtragem	5
3.1	Análise Matemática	5
3.2	Análise Visual e Validação	7
3.2.1	Resposta em Frequência (Domínio da Frequência)	7
3.2.2	Filtragem Espectral	8
3.3	Aplicação em Código Python	8
4	Amostragem e Estimação	9
4.1	Processo de Amostragem	9
4.1.1	Aplicação em Código Python	9
4.2	Critério de Decisão Euclidiana	9
4.2.1	Aplicação em Código Python	9
5	Resultados	11
5.1	Diagrama de Blocos	11
5.2	Constelação	11
5.3	Trajetória	13
6	Anexo 1 - Desenvolvimento das Identidades Trigonométricas	14
7	Anexo 2 - Código Completo	15
7.1	Código Principal	15
7.2	Outros Gráficos	19

1 Introdução

Este documento descreve o procedimento de demodulação implementado para a identificação de quatro símbolos distintos $\{S_1, S_2, S_3, S_4\}$. Estes símbolos consistem em valores complexos que codificam os vetores de movimentação do drone no plano xy .

Cada m -ésimo símbolo X_m é transmitido no tempo discreto conforme a expressão:

$$x_m[n] = \sqrt{2} \left(\operatorname{Re}\{X_m\} \cos\left(\frac{2\pi n}{N}\right) - \operatorname{Im}\{X_m\} \sin\left(\frac{2\pi n}{N}\right) \right)$$

para o intervalo $N_0 \leq n < N_0 + N$, onde N representa o número de amostras por símbolo e N_0 o instante inicial do intervalo.

O sinal recebido pelo demodulador, $y[n]$, é modelado pela composição do sinal transmitido $x[n]$ (contendo uma sequência de N_s símbolos) e um ruído aditivo $z[n]$:

$$y[n] = x[n] + z[n]$$

1.1 Processamento do Sinal

A extração dos N_s símbolos é realizada através de um processo dividido em três etapas:

- **Decomposição:** O sinal de entrada $y[n]$ é decomposto nas componentes reais e imaginárias dos símbolos. Este processo gera os sinais $y_R[n]$ e $y_I[n]$ através da correlação com as portadoras ortonormais, que carregam majoritariamente a parte real e imaginária dos símbolos.
- **Filtragem:** Aplicação de filtros para a mitigação do ruído $z[n]$ e eliminação de componentes de alta frequência resultantes da demodulação.
- **Amostragem e Estimação:** A partir dos sinais filtrados, o demodulador realiza a amostragem no instante ideal para identificar o símbolo transmitido dentro do espaço de estados. Os símbolos recuperados são então convertidos em coordenadas de comando para o mapeamento da rota do drone.

2 Decomposição

2.1 Fundamentação Teórica e Decomposição

A etapa inicial da demodulação consiste na extração das componentes reais $y_R[n]$ e imaginárias $y_I[n]$ dos símbolos a partir do sinal $y[n]$. Este processo é fundamentado na ortogonalidade das funções seno e cosseno, sendo definido pelas operações:

$$y_R[n] = y[n] \cdot \sqrt{2} \cos\left(\frac{2\pi n}{N}\right) \quad (1)$$

$$y_I[n] = y[n] \cdot -\sqrt{2} \sin\left(\frac{2\pi n}{N}\right) \quad (2)$$

Considerando a análise para um único símbolo X_m no intervalo $N_0 \leq n < N_0 + N$, o sinal recebido é dado por $y[n] = x_m[n] + z[n]$. O desenvolvimento analítico para ambas as componentes é apresentado a seguir:

2.1.1 Desenvolvimento da Componente Real ($y_R[n]$)

Substituindo a expressão de $x_m[n]$ e aplicando a propriedade distributiva, temos:

$$\begin{aligned} y_R[n] &= \left[\sqrt{2} \left(\operatorname{Re}\{X_m\} \cos\left(\frac{2\pi n}{N}\right) - \operatorname{Im}\{X_m\} \sin\left(\frac{2\pi n}{N}\right) \right) + z[n] \right] \cdot \sqrt{2} \cos\left(\frac{2\pi n}{N}\right) \\ &= 2\operatorname{Re}\{X_m\} \cos^2\left(\frac{2\pi n}{N}\right) - 2\operatorname{Im}\{X_m\} \sin\left(\frac{2\pi n}{N}\right) \cos\left(\frac{2\pi n}{N}\right) + z'[n] \end{aligned}$$

Onde $z'[n] = z[n]\sqrt{2} \cos(2\pi n/N)$ é o ruído transladado em frequência. Utilizando as identidades trigonométricas de arco duplo (Anexo 1):

$$\cos^2(\theta) = \frac{1 + \cos(2\theta)}{2} \quad \text{e} \quad \sin(\theta) \cos(\theta) = \frac{\sin(2\theta)}{2}$$

Obtém-se:

$$y_R[n] = \operatorname{Re}\{X_m\} + \operatorname{Re}\{X_m\} \cos\left(\frac{4\pi n}{N}\right) - \operatorname{Im}\{X_m\} \sin\left(\frac{4\pi n}{N}\right) + z'[n] \quad (3)$$

2.1.2 Desenvolvimento da Componente Imaginária ($y_I[n]$)

De forma análoga:

$$\begin{aligned} y_I[n] &= \left[\sqrt{2} \left(\operatorname{Re}\{X_m\} \cos\left(\frac{2\pi n}{N}\right) - \operatorname{Im}\{X_m\} \sin\left(\frac{2\pi n}{N}\right) \right) + z[n] \right] \cdot \left(-\sqrt{2} \sin\left(\frac{2\pi n}{N}\right) \right) \\ &= -2\operatorname{Re}\{X_m\} \cos\left(\frac{2\pi n}{N}\right) \sin\left(\frac{2\pi n}{N}\right) + 2\operatorname{Im}\{X_m\} \sin^2\left(\frac{2\pi n}{N}\right) + z''[n] \end{aligned}$$

Aplicando a identidade trigonométrica (Anexo 1) $\sin^2(\theta) = \frac{1-\cos(2\theta)}{2}$:

$$\begin{aligned} y_I[n] &= -2\operatorname{Re}\{X_m\} \left[\frac{1}{2} \sin\left(\frac{4\pi n}{N}\right) \right] + 2\operatorname{Im}\{X_m\} \left[\frac{1 - \cos\left(\frac{4\pi n}{N}\right)}{2} \right] + z''[n] \\ &= \operatorname{Im}\{X_m\} - \operatorname{Im}\{X_m\} \cos\left(\frac{4\pi n}{N}\right) - \operatorname{Re}\{X_m\} \sin\left(\frac{4\pi n}{N}\right) + z''[n] \end{aligned}$$

2.1.3 Análise de Resultados

Em ambas as decomposições, observa-se que o resultado é composto por:

1. Um termo continuo que representa a informação original ($\text{Re}\{X_m\}$ ou $\text{Im}\{X_m\}$);
2. Componentes de alta frequência localizadas no dobro da frequência da portadora ($4\pi/N$);
3. Um termo de ruído aleatório.

Para isolar os valores dos símbolos é necessária a aplicação de um **filtro passa-baixa** em ambas as saídas, eliminando as componentes de alta frequência e atenuando o ruído fora da banda de interesse.

2.2 Aplicação em Código Python

```
1 import numpy as np
2
3 # Importando os dados do csv
4 ySignal = np.loadtxt("rx_sgn_y.csv", dtype=complex)
5
6 # Total de amostras
7 total_samples = len(ySignal)
8
9 # Especificacao dos parametros dados no projeto
10 N = 21
11 Ns = 100
12 fc = 1000
13 Ts = 1 / (N*fc)
14
15
16 # Criando vetor de tempo discreto
17 n = np.arange(total_samples)
18
19 # Etapa 1 - Decomposicao do sinal -----
20 arg = (2 * np.pi / N) * n
21
22 yReal = np.sqrt(2) * np.cos(arg) * ySignal # Sinal contendo componentes
      reais dos simbolos
23
24 yImg = -np.sqrt(2) * np.sin(arg) * ySignal # Sinal contendo componentes
      imaginarias dos simbolos
```

Listing 1: Código Decomposição

3 Filtragem

Visando um sistema com resposta finita ao impulso (**FIR**), fácil implementação e maior familiaridade (Lista Computacional 01), optou-se pela utilização do Filtro de Média Móvel que, atenuando os sinais de alta frequência, preserva os dados de interesse com distorções mínimas.

3.1 Análise Matemática

A fim de provar sua eficiência como Filtro Passa-Baixa, segue-se o seguinte passo a passo matemático:

- Sabe-se que a convolução discreta é dada pela forma:

$$y[n] = x[n] * h[n] = \sum_{k=-\infty}^{\infty} h[k] \cdot x[n-k]$$

- No caso da média móvel, a resposta ao impulso $h[k]$ vale $1/N$ para as amostras no intervalo de 0 a $N - 1$ e 0 para as demais. Portanto:

$$y[n] = \frac{1}{N} \sum_{k=0}^{N-1} x[n-k]$$

- Intuitivamente, considera-se que ruídos de alta frequência serão atenuados, pois variações bruscas são suavizadas pela média. Para comprovar rigorosamente, analisa-se a resposta em frequência.
- A Resposta em Frequência, por sua vez, é obtida pela Transformada de Fourier de Tempo Discreto (DTFT) da resposta ao impulso:

$$H(e^{j\omega}) = \sum_{k=0}^{N-1} h[k] e^{-j\omega k} = \frac{1}{N} \sum_{k=0}^{N-1} (e^{-j\omega})^k$$

- Por se tratar de uma progressão geométrica finita de razão $r = e^{-j\omega}$, aplica a fórmula $S_N = \frac{1-r^N}{1-r}$:

$$H(e^{j\omega}) = \frac{1}{N} \frac{1 - e^{-j\omega N}}{1 - e^{-j\omega}}$$

- Para obter a relação em senos, coloca-se em evidência a exponencial de "meio ângulo" tanto no numerador quanto no denominador ($e^{-j\omega N/2}$ e $e^{-j\omega/2}$, respectivamente):

$$H(e^{j\omega}) = \frac{1}{N} \frac{e^{-j\omega N/2} (e^{j\omega N/2} - e^{-j\omega N/2})}{e^{-j\omega/2} (e^{j\omega/2} - e^{-j\omega/2})}$$

- Pela identidade de Euler ($2j \sin(\theta) = e^{j\theta} - e^{-j\theta}$), substitui-se os termos entre parênteses:

$$H(e^{j\omega}) = \frac{1}{N} \frac{e^{-j\omega N/2} \cdot 2j \sin(\omega N/2)}{e^{-j\omega/2} \cdot 2j \sin(\omega/2)}$$

- Simplificando os termos $2j$ e agrupando as exponenciais restantes, chega-se à expressão final que evidencia a atenuação e a fase linear:

$$H(e^{j\omega}) = \frac{1}{N} \frac{\sin(N\omega/2)}{\sin(\omega/2)} e^{-j\omega(N-1)/2}$$

Para verificar o comportamento, analisa-se apenas o módulo da resposta em frequência (Ganho):

$$|H(e^{j\omega})| = \left| \frac{1}{N} \frac{\sin(N\omega/2)}{\sin(\omega/2)} \right|$$

A prova de que o sistema é Passa-Baixa se dá pelos seguintes pontos críticos:

1. **Baixas Frequências ($\omega \rightarrow 0$):** Utilizando o limite fundamental trigonométrico ($\lim_{x \rightarrow 0} \frac{\sin(ax)}{\sin(x)} = a$), temos:

$$\lim_{\omega \rightarrow 0} |H(e^{j\omega})| = \frac{1}{N} \cdot \frac{N/2}{1/2} = 1$$

Isso comprova que frequências muito baixas passam pelo sistema sem sofrer atenuação.

2. **Altas Frequências (ex: $\omega = \pi$):** Na maior frequência possível em tempo discreto (frequência de Nyquist), o termo $\sin(\omega/2)$ no denominador torna-se $\sin(\pi/2) = 1$. O ganho passa a ser limitado por:

$$|H(e^{j\pi})| = \left| \frac{\sin(N\pi/2)}{N} \right| \leq \frac{1}{N}$$

Este resultado demonstra que a amplitude do sinal nessa frequência é reduzida a uma fração $1/N$ da amplitude original. Em outras palavras, o ruído de alta frequência sofre um **fator de atenuação de N vezes**.

Também demonstrando matematicamente que, quanto maior a ordem N do filtro, maior será a atenuação das altas frequências:

Comparação da Resposta em Frequência

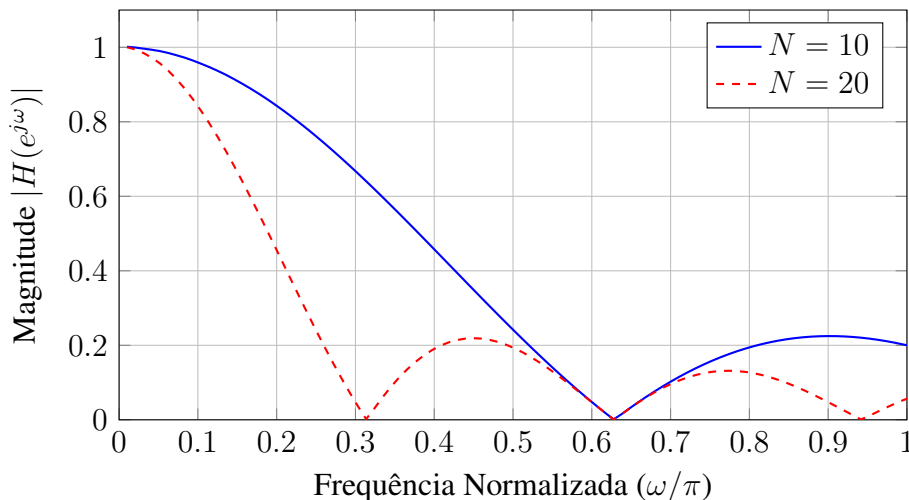


Figura 1: Gráfico da magnitude da resposta em frequência para um filtro de média móvel para tamanhos diferentes de intervalo.

Tendo comprovado a característica Passa-Baixa do filtro de Média Móvel, resta definir a ordem N ideal para a aplicação proposta. Denota-se que, cada símbolo observado na etapa anterior, é composto por uma janela temporal de **21 amostras**. Além disso, as portadoras são definidas com periodicidade ajustada para completar ciclos inteiros dentro desse intervalo.

Para um filtro de média móvel, a anulação completa de uma componente senoidal ocorre quando a janela do filtro abrange exatamente um número inteiro de períodos dessa senoide. A soma de uma senoide pura sobre seu período completo é nula:

$$\sum_{n=0}^{N-1} \cos\left(\frac{2\pi k}{N}n + \phi\right) = 0, \quad \text{para } k \text{ inteiro e não nulo.}$$

Desta forma, optou-se por configurar a ordem do filtro como $N = 21$. Essa escolha alinha a janela de filtragem exatamente com a duração do símbolo, garantindo:

- **Máxima Rejeição:** As componentes de alta frequência são canceladas pela soma, pois completam ciclos inteiros na janela de 21 amostras.
- **Integração Coerente:** O filtro soma toda a energia do sinal DC referente àquele símbolo, maximizando a relação sinal-ruído antes da decisão.

3.2 Análise Visual e Validação

A fim de comprovar as afirmações teóricas e a escolha da ordem do filtro, realizou-se uma análise visual baseada em simulações computacionais utilizando os dados do sinal recebido.

3.2.1 Resposta em Frequência (Domínio da Frequência)

Como a etapa de demodulação (multiplicação pela portadora) gera componentes indesejados no dobro da frequência da portadora ($2\omega_c$), e sabendo que o sistema foi projetado tal que a portadora completa um ciclo a cada N amostras ($\omega_c = \frac{2\pi}{N}$), a interferência ocorre em:

$$2\omega_c = \frac{4\pi}{N}$$

Observa-se no gráfico que este ponto corresponde exatamente ao segundo nulo da função ($k = 2$). Isso valida a escolha de $N = 21$, pois garante que a componente de alta frequência oscilatória seja matematicamente anulada, e não apenas atenuada.



Figura 2: Magnitude da Resposta em Frequência do Filtro ($N = 21$). Note os nulos periódicos que eliminam harmônicos da frequência de amostragem do símbolo.

3.2.2 Filtragem Espectral

Nota-se que o processo de mistura gera réplicas de alta frequência distantes da banda base. O filtro de média móvel atua drasticamente sobre essas componentes, atenuando o ruído e preservando apenas o lóbulo principal em baixas freqüências, que contém a informação útil. A "limpeza" do espectro confirma a característica passa-baixa seletiva do filtro projetado.

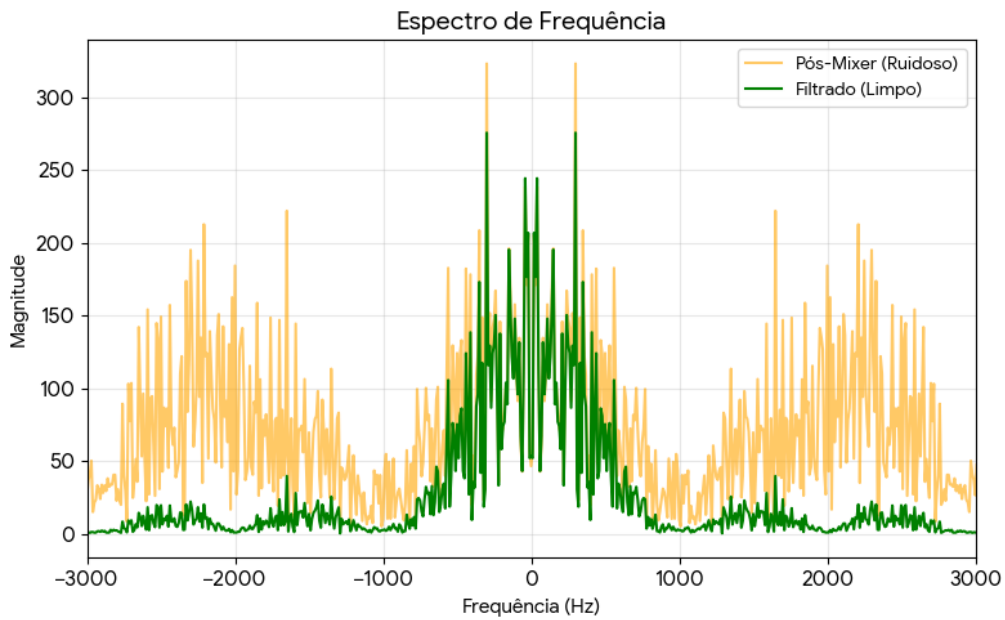


Figura 3: Espectro de Frequência: O sinal ruidoso pós-mixer (laranja) é suavizado pelo filtro (verde), eliminando componentes de alta frequência.

3.3 Aplicação em Código Python

```

1 # Etapa 2 - Filtro(Media Movel) -----
2 h = np.ones(N) / N
3
4 # Convolucao
5 yReal_mm = np.convolve(yReal, h, mode='full')
6
7 yImg_mm = np.convolve(yImg, h, mode='full')
```

Listing 2: Código Filtragem

4 Amostragem e Estimação

Nesta etapa final, o sinal filtrado é discretizado e processado para a recuperação da informação original, transformando as sequências temporais em comandos de movimentação.

4.1 Processo de Amostragem

Após a filtragem por média móvel, os sinais $y_{R,mm}[n]$ e $y_{I,mm}[n]$ atingem a estabilidade ao final de cada período de símbolo. A amostragem é realizada de forma sincronizada a cada N amostras, extraíndo o valor médio acumulado para compor a estimativa complexa \hat{X}_m :

$$\hat{X}_m = y_{R,mm}[idx] + j \cdot y_{I,mm}[idx]$$

Onde o índice de amostragem é definido por $idx = (m \cdot N) + (N - 1)$, para $m = 0, 1, \dots, N_s - 1$. Este instante de amostragem garante que o filtro tenha integrado toda a energia do símbolo atual, maximizando a relação sinal-ruído antes da tomada de decisão.

4.1.1 Aplicação em Código Python

```

1 # Amostragem -----
2 simbolos_estimados = []
3
4 for m in range(Ns): # Para todos simbolos transmitidos
5     idx = (m * N) + (N - 1) # Indice do final de cada periodo de simbolo,
6     que sera amostrado
7
8     val_real = yReal_mm[idx] # Armazena a parte real do simbolo
9     val_img = yImg_mm[idx] # Armazena a parte imaginaria do simbolo
10
11    simbolos_estimados.append(val_real + 1j * val_img) # Coloca esse
12    valor num vetor com todos simbolos estimados
13
14 simbolos_estimados = np.array(simbolos_estimados) # Converte para um
15 numpy array

```

Listing 3: Etapa 1 Python

4.2 Critério de Decisão Euclidiana

Devido ao ruído presente no canal, as estimativas \hat{X}_m sofrem deslocamentos em relação à constelação ideal. Para identificar o símbolo transmitido, utiliza-se o critério de *Distância Euclidiana Mínima*, mapeando a estimativa para o ponto S mais próximo dentro do alfabeto \mathcal{S}_{4QAM} :

$$X_m = \arg \min_{S \in \mathcal{S}_{4QAM}} |\hat{X}_m - S|$$

Onde $\mathcal{S}_{4QAM} = \{S_1, S_2, S_3, S_4\}$. A sequência decodificada X_m representa os vetores unitários de movimentação que alimentam o modelo cinemático para o cálculo da trajetória final do drone.

4.2.1 Aplicação em Código Python

```
1 # Etapa 3 - Decisor -----
2
3 # Constelacao Ideal
4 constelacao = [
5     1/np.sqrt(2) + 1j/np.sqrt(2),    #S1
6     -1/np.sqrt(2) + 1j/np.sqrt(2),   #S2
7     -1/np.sqrt(2) - 1j/np.sqrt(2),   #S3
8     1/np.sqrt(2) - 1j/np.sqrt(2)    #S4
9 ]
10
11 simbolos_decodificados = [] # Array que armazena os simbolos que foram
12     decodificados em sequencia
13
14 for s_estimado in simbolos_estimados:
15     distancias = [abs(s_estimado - ponto) for ponto in constelacao] # Calcula a distancia entre nosso ponto estimado e os 4 pontos ideais,
16     salvando-as em um array
         indice_menor = np.argmin(distancias) # Escolhe o indice da menor
         distancia (ponto mais proximo)
         simbolos_decodificados.append(constelacao[indice_menor]) # Adiciona o
         ponto mais proximo como o ponto que foi transmitido
```

Listing 4: Etapa 1 Python

5 Resultados

5.1 Diagrama de Blocos

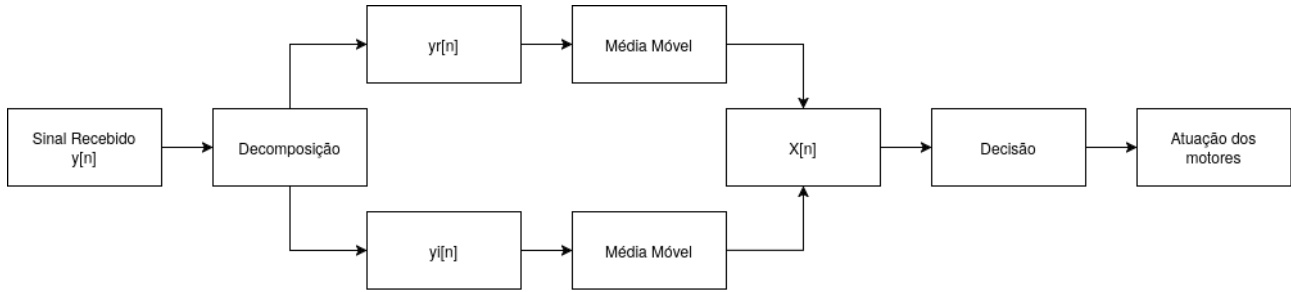


Figura 4: Diagrama de Blocos

Após o sinal ser passado pelo demodulador (saída do bloco de decisão) se tem os seguintes resultados.

5.2 Constelação

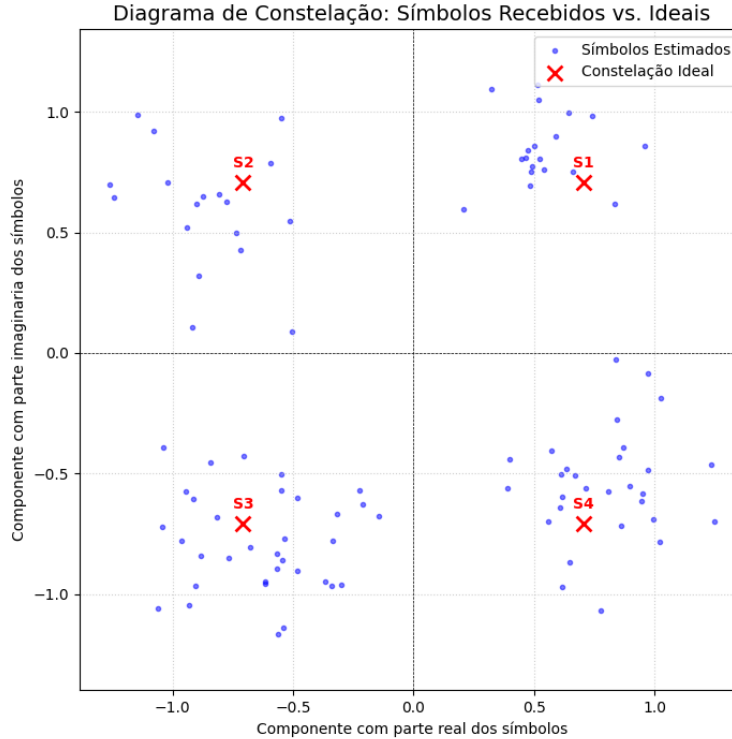


Figura 5: Constelação Pontos Estimados

O Gráfico apresenta a dispersão dos pontos estimados após a demodulação, mas antes do estágio de decisão (mapeamento para os símbolos ideais mais próximos $S_i \in \mathcal{S}_{4QAM}$). A dispersão observada deve-se à presença do ruído aditivo $z[n]$ inerente ao canal de transmissão. Nota-se, contudo, que a variância do ruído não foi suficiente para ultrapassar as fronteiras de decisão, garantindo que os símbolos fossem decodificados corretamente, conforme validado na análise de trajetória.

Ademais, à título de comparação, coloca-se a saída do misturador ao lado da constelação filtrada, denotando uma óbvia correção dos símbolos:

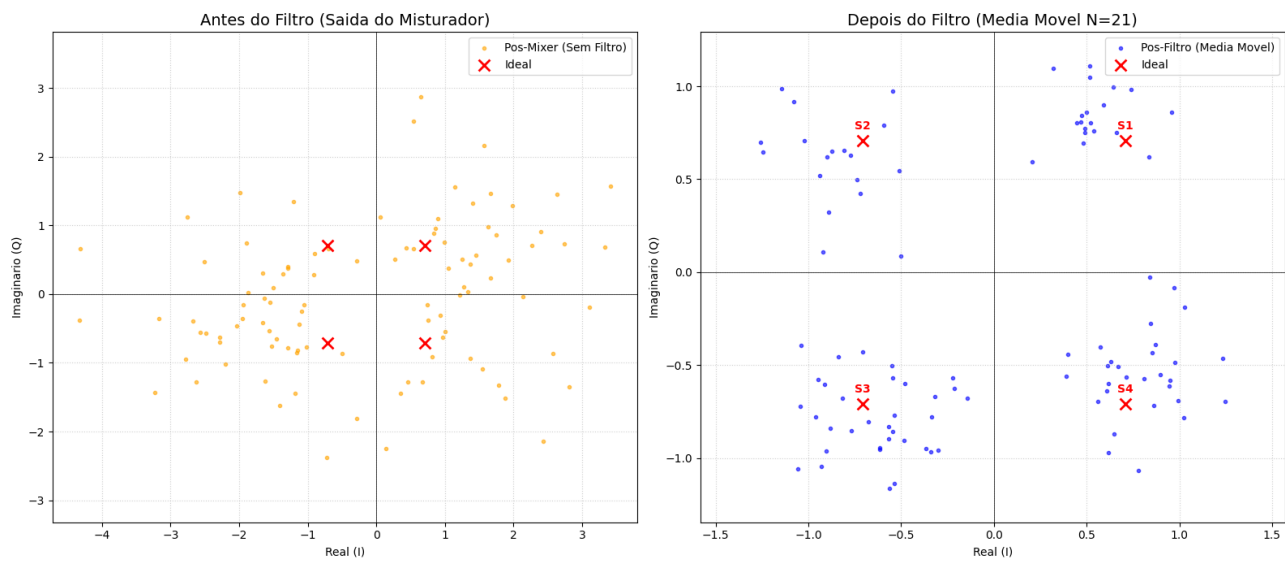


Figura 6: Comparaçāo Pré e Pós Filtro

5.3 Trajetória

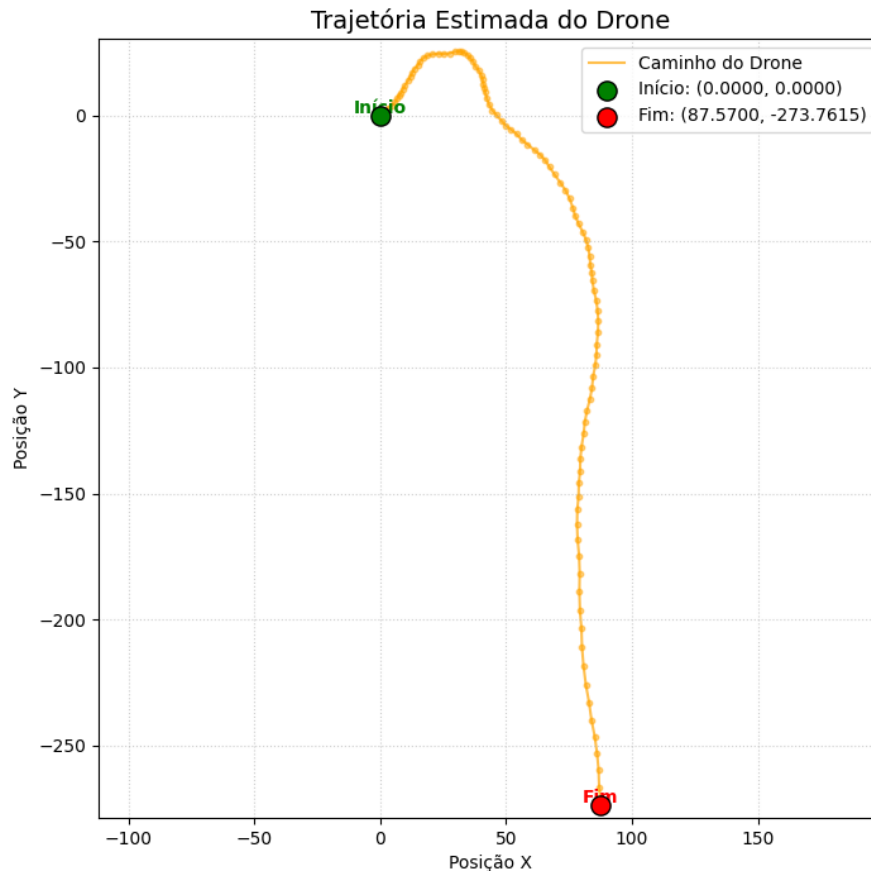


Figura 7: Trajetória do Drone

Conforme observado na Figura, o percurso realizado pelo drone e seu ponto final coincidem com as coordenadas de referência esperadas. Este resultado comprova a eficácia e a robustez do sistema demodulador proposto, demonstrando que, mesmo sob a influência do ruído $z[n]$ evidenciado na constelação, a integridade da informação de controle foi preservada.

6 Anexo 1 - Desenvolvimento das Identidades Trigonométricas

Desenvolvimento das identidades trigonométricas

Identidades que serão utilizadas:

$$\cdot) e^{\pm j\theta} = \cos\theta \pm j\sin\theta$$

$$\cdot) \cos\theta = \frac{1}{2}(e^{j\theta} + e^{-j\theta})$$

$$\cdot) \sin\theta = \frac{j}{2}(e^{j\theta} - e^{-j\theta})$$

$$\text{I) } \cos^2\theta \\ = \left(\frac{e^{j\theta} + e^{-j\theta}}{2} \right) \left(\frac{e^{j\theta} + e^{-j\theta}}{2} \right) = \frac{1}{4} \left(e^{j2\theta} + e^{j\theta-j\theta} + e^{j\theta-j\theta} + e^{-j2\theta} \right) =$$

$$= \frac{1}{4} (\cos(2\theta) + j\sin(2\theta) + 1 + 1 + \cos(2\theta) - j\sin(2\theta)) = \frac{1}{4} (2\cos(2\theta) + 2) = \frac{1}{2} (\cos(2\theta) + 1)$$

$$\cos^2\theta = \frac{1}{2} (1 + \cos 2\theta)$$

$$\text{II) } \sin^2\theta$$

$$= \left(\frac{e^{j\theta} - e^{-j\theta}}{j2} \right) \left(\frac{e^{j\theta} - e^{-j\theta}}{j2} \right) = -\frac{1}{4} (e^{j2\theta} - e^0 - e^0 + e^{-j2\theta}) = -\frac{1}{4} (\cos(2\theta) + j\sin(2\theta) - 1 - 1 + \cos(2\theta) - j\sin(2\theta)) =$$

$$= -\frac{1}{4} (2\cos(2\theta) - 2) = \frac{1}{2} (1 - \cos 2\theta)$$

$$\sin^2\theta = \frac{1}{2} (1 - \cos 2\theta)$$

$$\text{III) } \sin(\theta)\cos(\theta)$$

$$= \left(\frac{e^{j\theta} - e^{-j\theta}}{j2} \right) \left(\frac{e^{j\theta} + e^{-j\theta}}{2} \right) = \frac{j}{4} (e^{j2\theta} + e^0 - e^0 - e^{-j2\theta}) = \frac{j}{4} (e^{j2\theta} - e^{-j2\theta}) =$$

$$= \frac{j}{4} (\cos(2\theta) + j\sin(2\theta) - \cos(2\theta) + j\sin(2\theta)) = \frac{j}{4} (j2\sin(2\theta)) = \frac{1}{2} \cdot j\sin(2\theta)$$

$$\sin(\theta)\cos(\theta) = \frac{1}{2} j\sin(2\theta)$$

Figura 8: Desenvolvimento Trigonométrico

7 Anexo 2 - Código Completo

7.1 Código Principal

```
1 import numpy as np
2 import matplotlib.pyplot as plt
3
4 # Importando os dados do csv
5 ySignal = np.loadtxt("rx_sgn_y.csv", dtype=complex)
6
7 # Total de amostras
8 total_samples = len(ySignal)
9
10 # Especificacao dos parametros dados no projeto
11 N = 21
12 Ns = 100
13 fc = 1000
14 Ts = 1 / (N*fc)
15
16
17 # Criando vetor de tempo discreto
18 n = np.arange(total_samples)
19
20 # Etapa 1 - Decomposicao do sinal -----
21 arg = (2 * np.pi / N) * n
22
23 yReal = np.sqrt(2) * np.cos(arg) * ySignal
24
25 yImg = -np.sqrt(2) * np.sin(arg) * ySignal
26
27
28
29 # Etapa 2 - Filtro(Media Movel) -----
30 h = np.ones(N) / N
31
32 # Convolucao
33 yReal_mm = np.convolve(yReal, h, mode='full')
34
35 yImg_mm = np.convolve(yImg, h, mode='full')
36
37 # Amostragem -----
38 simbolos_estimados = []      # Com filtro (Sinal limpo)
39 simbolos_sem_filtro = []    # Sem filtro (Sinal sujo saindo do mixer)
40
41 for m in range(Ns):
42     # Indice de amostragem (final do simbolo)
43     idx = (m * N) + (N - 1)
44
45     # 1. Captura do sinal FILTRADO (O que voce ja tinha)
46     val_real = yReal_mm[idx]
47     val_img = yImg_mm[idx]
48     simbolos_estimados.append(val_real + 1j * val_img)
49
```



```
50      # 2. Captura do sinal SEM FILTRO (Direto do Mixer)
51      # Isso vai mostrar a interferencia de 2*fc
52      raw_real = yReal[idx]
53      raw_img = yImg[idx]
54      simbolos_sem_filtro.append(raw_real + 1j * raw_img)
55
56 simbolos_estimados = np.array(simbolos_estimados)
57 simbolos_sem_filtro = np.array(simbolos_sem_filtro)
58
59
60 # Etapa 3 - Decisor -----
61
62 # Constelacao Ideal
63 constelacao = [
64     1/np.sqrt(2) + 1j/np.sqrt(2),    #S1
65     -1/np.sqrt(2) + 1j/np.sqrt(2),   #S2
66     -1/np.sqrt(2) - 1j/np.sqrt(2),  #S3
67     1/np.sqrt(2) - 1j/np.sqrt(2)   #S4
68 ]
69
70 simbolos_decodificados = []
71
72 for s_estimado in simbolos_estimados:
73     distancias = [abs(s_estimado - ponto) for ponto in constelacao]
74     indice_menor = np.argmin(distancias)
75     simbolos_decodificados.append(constelacao[indice_menor])
76
77
78 # Teste da rota -----
79 cx, cy = 0, 0 # Posicoes Iniciais
80 vx, vy = 2, 2 # Velocidades
81 path_x = [cx]
82 path_y = [cy]
83 alpha = 0.5
84 tau = 1
85
86 for sym in simbolos_decodificados:
87     vx = vx + alpha * sym.real
88     vy = vy + alpha * sym.imag
89
90     cx = cx + tau * vx
91     cy = cy + tau * vy
92
93     path_x.append(cx)
94     path_y.append(cy)
95
96 print(f"Coordenada final: ({cx:.4f}, {cy:.4f})")
97
98 # Gerar graficos -----
99
100 # Grafico sem comparacoes
101 plt.figure(figsize=(8, 8))
```

```
103 # Plotar os simbolos estimados
104 plt.scatter(simbolos_estimados.real, simbolos_estimados.imag,
105             color='blue', alpha=0.5, label='Simbolos Estimados', marker='.')
106
107 # Plotar a constelacao ideal
108 const_x = [p.real for p in constelacao]
109 const_y = [p.imag for p in constelacao]
110 plt.scatter(const_x, const_y, color='red', marker='x', s=100, linewidths=2, label='Constelacao Ideal')
111
112 # Adicionar legendas para cada simbolo ideal
113 for i, ponto in enumerate(constelacao):
114     plt.annotate(f'S{i+1}', (ponto.real, ponto.imag), textcoords="offset points",
115                  xytext=(0,10), ha='center', fontweight='bold', color='red')
116
117 # Formatacao do grafico
118 plt.axhline(0, color='black', linestyle='--', linewidth=0.5) # Eixo X
119 plt.axvline(0, color='black', linestyle='--', linewidth=0.5) # Eixo Y
120 plt.grid(True, linestyle=':', alpha=0.6)
121 plt.title('Diagrama de Constelacao: Simbolos Recebidos vs. Ideais', fontsize=14)
122 plt.xlabel('Componente com parte real dos simbolos')
123 plt.ylabel('Componente com parte imaginaria dos simbolos')
124 plt.legend(loc='upper right')
125 plt.axis('equal')
126
127 plt.show()

128
129 # Constelacoes com comparacao
130 fig, (ax1, ax2) = plt.subplots(1, 2, figsize=(16, 7))
131
132 # --- GRAFICO 1: SEM FILTRO (Esquerda) ---
133 ax1.scatter(simbolos_sem_filtro.real, simbolos_sem_filtro.imag,
134             color='orange', alpha=0.6, label='Pos-Mixer (Sem Filtro)', marker='.')
135
136 # Desenha a constelacao ideal em cima para referencia
137 const_x = [p.real for p in constelacao]
138 const_y = [p.imag for p in constelacao]
139 ax1.scatter(const_x, const_y, color='red', marker='x', s=100, linewidths=2, label='Ideal')
140
141 ax1.set_title('Antes do Filtro (Saida do Misturador)', fontsize=14)
142 ax1.set_xlabel('Real (I)')
143 ax1.set_ylabel('Imaginario (Q)')
144 ax1.grid(True, linestyle=':', alpha=0.6)
145 ax1.axhline(0, color='black', linewidth=0.5)
146 ax1.axvline(0, color='black', linewidth=0.5)
147 ax1.legend()
148 ax1.axis('equal')
```

```
149 # --- GRAFICO 2: COM FILTRO (Direita) ---
150 ax2.scatter(simbolos_estimados.real, simbolos_estimados.imag,
151             color='blue', alpha=0.6, label='Pos-Filtro (Media Movel)',
152             marker='.')
153
154 # Desenha a constelacao ideal
155 ax2.scatter(const_x, const_y, color='red', marker='x', s=100, linewidths
156 =2, label='Ideal')
157
158 # Adiciona legendas S1, S2... apenas no grafico limpo para nao poluir
159 for i, ponto in enumerate(constelacao):
160     ax2.annotate(f'S{i+1}', (ponto.real, ponto.imag), textcoords="offset
161     points",
162                 xytext=(0,10), ha='center', fontweight='bold', color='
163     red')
164
165 ax2.set_title('Depois do Filtro (Media Movel N=21)', fontsize=14)
166 ax2.set_xlabel('Real (I)')
167 ax2.set_ylabel('Imaginario (Q)')
168 ax2.grid(True, linestyle=':', alpha=0.6)
169 ax2.axhline(0, color='black', linewidth=0.5)
170 ax2.axvline(0, color='black', linewidth=0.5)
171 ax2.legend()
172 ax2.axis('equal')
173
174 plt.tight_layout() # Ajusta o espacamento para nao sobrepor textos
175 plt.show()
176
177 # --- Grafico da Trajetoria do Drone ---
178 plt.figure(figsize=(8, 8))
179
180 # 1. Plotar a linha da trajetoria
181 plt.plot(path_x, path_y, linestyle='-', color='orange', alpha=0.7, label=
182     'Caminho do Drone', zorder=1)
183 plt.scatter(path_x, path_y, color='orange', s=10, alpha=0.5) # Pontos
184     intermediarios pequenos
185
186 # 2. Ponto de Inicio
187 plt.scatter(path_x[0], path_y[0], color='green', s=120, edgecolors='black
188     ', zorder=5, label=f'Inicio: ({path_x[0]:.4f}, {path_y[0]:.4f})')
189
190 # 3. Ponto de Fim
191 plt.scatter(path_x[-1], path_y[-1], color='red', s=120, edgecolors='black
192     ', zorder=5, label=f'Fim: ({path_x[-1]:.4f}, {path_y[-1]:.4f})')
193
194 # 4. Anotacoes de texto
195 plt.text(path_x[0], path_y[0] + 1, 'Inicio', color='green', fontweight='
196     bold', ha='center')
197 plt.text(path_x[-1], path_y[-1] + 1, 'Fim', color='red', fontweight='bold
198     ', ha='center')
199
200 # --- Ajustes de Escala e Enquadramento ---
```

```

192
193 # 'equal' garante que 1 metro em X seja igual a 1 metro em Y na tela
194 plt.axis('equal')
195
196 # Adiciona uma margem de segurança para os rotulos não ficarem cortados
197 margin = 5
198 plt.xlim(min(path_x) - margin, max(path_x) + margin)
199 plt.ylim(min(path_y) - margin, max(path_y) + margin)
200
201 plt.title('Trajetoria Estimada do Drone', fontsize=14)
202 plt.xlabel('Posicao X')
203 plt.ylabel('Posicao Y')
204 plt.grid(True, linestyle=':', alpha=0.6)
205 plt.legend(loc='best')
206
207 plt.show()

```

Listing 5: Etapa 1 Python

7.2 Outros Gráficos

```

1 import numpy as np
2 import matplotlib.pyplot as plt
3 from numpy.fft import fft, fftshift, fftfreq
4
5 # CONFIGURACOES GERAIS
6 N = 21           # Tamanho do filtro
7 fc = 1000        # Frequencia da portadora
8 fs = N * fc      # 21000 Hz
9
10 # GRaFICO 1: MAGNITUDE DA RESPOSTA EM FREQUENCIA TEORICA:
11 # Definicao do filtro
12 h = np.ones(N) / N
13
14 # Calculo da resposta em frequencia
15 num_pontos_fft = 4096 # alto numero de pontos para suavizar
16 H = fft(h, num_pontos_fft)
17
18 # Eixo da frequencia normalizada
19 H_mag = np.abs(H[:num_pontos_fft//2])
20 w_norm = np.linspace(0, 1, len(H_mag))
21
22 plt.figure(figsize=(10, 5))
23 plt.plot(w_norm, H_mag, 'royalblue', linewidth=2)
24
25 # Estilizacao para ficar igual ao seu relatorio
26 plt.title(f'Reposta em Frequencia do Filtro (N={N})')
27 plt.xlabel(r'Frequencia Normalizada ($\times \pi$ rad/amostra)')
28 plt.ylabel('Magnitude')
29 plt.grid(True, linestyle='--', alpha=0.6)
30 plt.axvline(2/N, color='red', linestyle='--', label='Corte aprox.')
31 plt.legend()
32 plt.tight_layout()

```

```
33 plt.show()
34
35
36 # GR FICO 2: ESPECTRO DE FREQUENCIA
37
38 # Gerar um sinal sintetico similar ao do drone para o grafico
39 np.random.seed(42)
40 num_simbolos = 200
41 t = np.arange(num_simbolos * N)
42
43
44 # Sinal de dados
45 dados = np.repeat(np.random.choice([-1, 1], num_simbolos), N)
46
47 # Misturador: Sinal * cos(2*pi*fc*t) * cos(2*pi*fc*t) gera DC + 2fc
48 # Aqui simulamos direto o resultado do mixer: Parte DC + Parte em 2*fc +
49 # Ruido
50 sinal_pos_mixer = (dados * 1.0) + (dados * np.cos(2 * np.pi * (2*fc/fs) *
51 t)) + 0.5 * np.random.randn(len(t))
52
53 # Aplicar o Filtro
54 sinal_filtrado = np.convolve(sinal_pos_mixer, h, mode='same')
55
56 # Calculo do FFT para o Grafico
57 freqs = fftshift(fftfreq(len(t), d=1/fs))
58 X_mixer = fftshift(fft(sinal_pos_mixer))
59 X_filt = fftshift(fft(sinal_filtrado))
60
61 # Magnitude normalizada para escala do grafico
62 mag_mixer = np.abs(X_mixer)
63 mag_filt = np.abs(X_filt)
64
65 # Plotagem
66 plt.figure(figsize=(10, 6))
67
68 # Plot do sinal ruidoso
69 plt.plot(freqs, mag_mixer, color='orange', alpha=0.6, linewidth=1, label=
70 'P s -Mixer (Ruidoso)')
71
72 # Plot do sinal filtrado
73 plt.plot(freqs, mag_filt, color='green', linewidth=1.5, label='Filtrado ('
74 'Limpo)')
75
76 # Configura es de Eixo e Texto
77 plt.title('Espectro de Frequencia')
78 plt.xlabel('Frequencia (Hz)')
79 plt.ylabel('Magnitude')
80 plt.legend(loc='upper right', frameon=True, fancybox=True, framealpha=1,
81 borderpad=1)
82 plt.grid(True, alpha=0.3)
83
84 # Limites iguais a imagem ]
85 plt.xlim(-3000, 3000)
```

```
81 plt.tight_layout()  
82 plt.show()
```

Listing 6: Outros Graficos Python